

Моделирование корпуса шаровой опоры легкового автомобиля

Ю.В. Родионов, С.В. Баканова, А.А. Войнов

Пензенский государственный университет архитектуры и строительства

Аннотация: На основе системного анализа повреждений деталей и сравнения долговечности существующих шаровых опор с полимерным гомогенным элементом с долговечностью модифицированных опор построены модель ячейки с усреднённым размещением модификатора в подложке опоры и модель приведения многослойного корпуса опоры к эквивалентному однослойному; выполнены расчёты контактного давления, контактных деформаций и напряжений. При расчёте учтены реологические и физико-химические свойства компонентов подложки и модификатора, влияние внешней среды. В результате обработки информации было установлено, что во всех точках контура материал испытывает двухосное плоское двухмерное напряжённое состояние, называемое чистым сдвигом с наличием касательных напряжений. В результате применения системного анализа установлено, что наиболее напряжённой опасной точкой является точка, лежащая в центре площадки соприкосновения деталей.

Ключевые слова: шаровая опора, долговечность, моделирование, полимерный материал, гранула, модифицирование.

При разработке методов повышения надежности деталей на основе системного анализа необходимо, в частности, определить внутренние и локальные напряжения, а также проявляющиеся под действием нагрузок деформации [1-3]. Решение задачи осложняется тем, что элементы шаровых опор (ШО) легковых автомобилей имеют различные жёсткостные характеристики, а модифицированная подложка, кроме того, обладает гетерогенной структурой [4-7]. Для проектируемой оболочки на первом этапе гетерогенную подложку вкладыша заменяем эквивалентным однородным слоем, а далее многослойный корпус заменяем однослойным и решаем контактную задачу более простым способом.

Моделирование многослойного корпуса ШО однослойной сферической оболочкой с неполной сферой основано на решении аналогичной задачи для оболочечных аппаратов космонавтики [8]. Расчётные схемы приведены на рис. 1-4.

На рис. 1, а двухслойный корпус, состоящий из полимерного элемента 2 и металлической обоймы 3, заменяется однослойным корпусом (рисунок

2.1,б) с эквивалентным модулем упругости $E_{\text{экв.к}}$. По рис. 2 для трёхслойного корпуса, содержащего в своём составе два полимерных элемента 2 и 3, вкладыш и КПВ, моделируется вначале эквивалентная однослойная полимерная оболочка (рис. 2, б), которая затем в сочетании с металлической облойкой корпуса позволяет получить модель однослойного эквивалентного корпуса ШО (рис. 2, в).

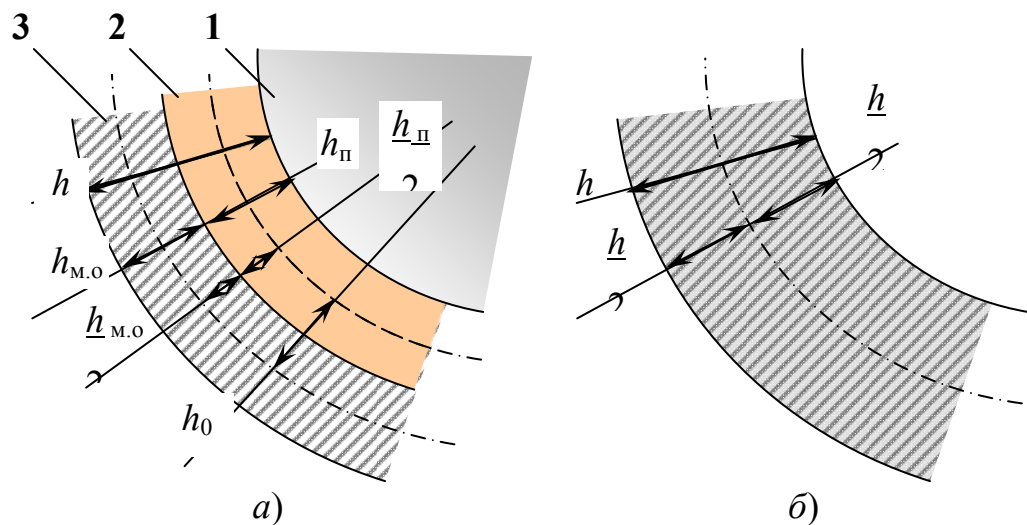


Рис. 1.- Расчётные толщины корпуса сферического подшипника скольжения: а – разрез двухслойного корпуса, б – модель эквивалентного однослойного корпуса

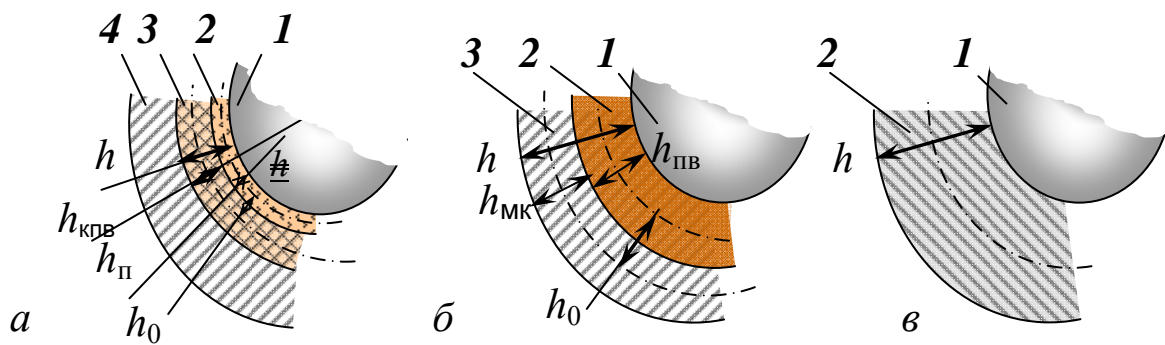


Рис 2. - Последовательное приведение трёхслойного корпуса шарнира к эквивалентной оболочке (разрез ШО):

a – 1 – палец, 2 – полимерный вкладыш, 3 – полимерная подложка, 4 – обойма корпуса металлическая; *б* – 1 – палец, 2 – эквивалентный полимерный слой, 3 – обойма корпуса; *в* – 1 – палец, 2 – эквивалентная однослойная оболочка корпуса.

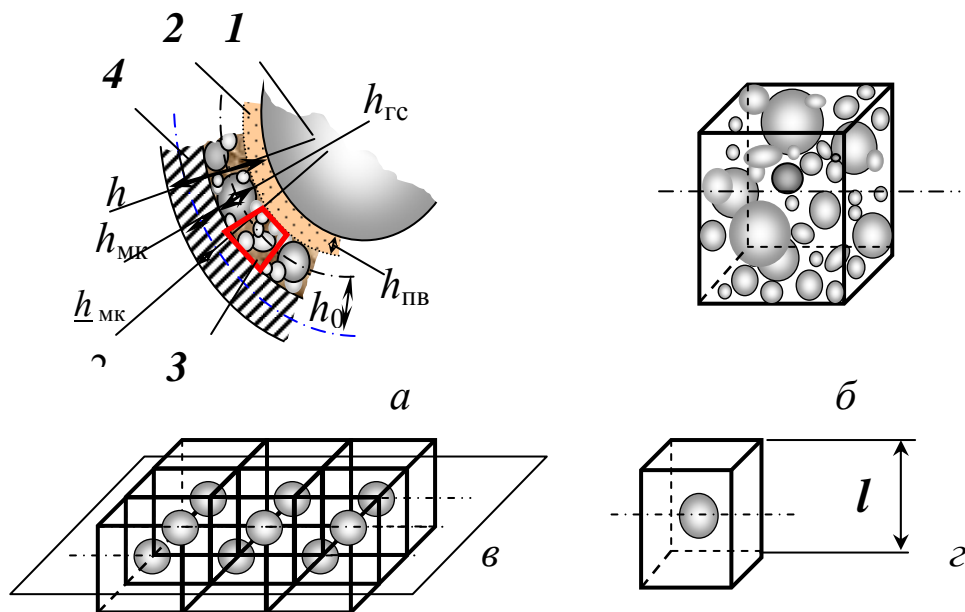


Рис. 3. - Моделирование модифицированной подложки
a – разрез ШО, 1 – палец, 2 – полимерный вкладыш, 3 – полимерная подложка с модификатором, 4 – металлическая обойма корпуса;
б – гетерогенная структура подложки, *в* – структура подложки с идеальным расположением гранул модификатора, *z* – модель ячейки.

На рис 3, *a* показан трёхслойный корпус ШО, в составе которого содержится модифицированный полимерный слой. На рис. 3, *б* - *z* представлена последовательность приведения модифицированного

полимерного материала 3, при моделировании модифицированной эквивалентной ячейки.

В данном случае, при введении модификатора в виде гранул из металла в полимерный элемент 3, последний становится неоднородным слоем. Расстояние между гранулами определяем, анализируя два соседних элементарных объёма и сечение, проходящее через центры гранул.

Будем считать, что единичная гранула заполняет объём куба с ребром $l = 2(h+R)$. Следовательно, объём ячейки $V = 8(h+R)^3$, а объём гранулы $V_M = 4\pi R^3 / 3$. Принимая концентрацию гранул $K = V_M / V$, установим:

$$K = \frac{\pi R^3}{6(h+R)^3}, \text{ откуда } \frac{h}{R} = 0,55 \cdot \sqrt[3]{\frac{\pi}{K}} - 1. \quad (1)$$

Максимальная концентрация гранул будет при условии $h = 0$, что соответствует $K = \pi / 6 = 0,5236$, а минимальная - при $h \rightarrow \infty$, откуда $V_M \rightarrow 0$.

Двухслойная оболочка корпуса ШО характеризуется жёсткостями на изгиб $D_{\theta 1}$, $D_{x 2}$ и жёсткостями на растяжение $A_{\theta 1}$ и $A_{x 2}$ для двух слоев [8].

Данные жёсткости при коэффициенте Пуассона для слоев $\nu = (\nu_{M.O} + \nu_{П})/2$ на единицу расстояния представляем в виде:

$$A_x = \frac{1}{1-\nu^2} [E_{M.O} h_{M.O} + E_{П} h_{П}] \quad , \quad (2)$$

$$D_{\theta} = \frac{E_{M.O} h_{M.O}^3}{12(1-\nu_{M.O}^2)} + \frac{E_{П} h_{П}^3}{12(1-\nu_{П}^2)} + h_0^2 \frac{E_{M.O} E_{П} h_{M.O} h_{П}}{(E_{M.O} h_{M.O} + E_{П} h_{П})(1-\nu^2)}, \quad (3)$$

где A_x , D_{θ} – приведённые жёсткости оболочки на растяжение и на изгиб;

ν , $\nu_{П}$, $\nu_{M.O}$ – коэффициенты Пуассона: осреднённый, полимерного элемента и металлической обоймы;

$E_{П}$, $E_{M.O}$ – модули упругости полимерного элемента и металлической обоймы;

$h, h_{\text{м.о}}, h_{\text{п}}$ – полная толщина корпуса, толщина металлической обоймы и полимерного элемента соответственно;

h_0 – расстояние между поверхностями двух слоёв ШО.

Условно принимаем для расчета толщину эквивалентной однослойной оболочки равной толщине пакета двухслойной оболочки, т.е.

$$h = h_{\text{м.о}} + h_{\text{п}} \quad h_0 = (h_{\text{м.о}} + h_{\text{п}}) / 2$$

Плотность материала эквивалентной однослойной оболочки будет

$$\rho_{\text{экв}} = \frac{(\rho_{\text{м.о}} h_{\text{м.о}} + \rho_{\text{п}} h_{\text{п}})}{h}. \quad (4)$$

Оболочка теряет устойчивость при критическом давлении $q_{\text{кр}}$, при котором собственная частота определяется по формуле [6]:

$$\omega^2 = \frac{n^2(n^2 - 1) \cdot q_{\text{кр}}(n)}{(n^2 + 1) \cdot \rho_{\text{экв}} h R}, \quad (5)$$

где R – радиус срединной поверхности оболочки;

n – количество волн в окружном направлении.

Минимальное значение $q_{\text{кр}}$ получается, когда в продольном направлении возникает одна полуволна. Следовательно,

$$q_{\text{кр}}(n) = \frac{D_{\theta}}{R^3} (n^2 - 1) + \frac{A_x (1 - \nu^2)}{R} \left(\frac{\pi R}{l} \right)^4 \cdot \frac{1}{n^6}, \quad (6)$$

где l – длина оболочки.

Из условия $\frac{dq_{\text{кр}}(n)}{dn} = 0$ получим выражение для n^2 :

$$n^2 = \frac{\pi R}{l} \sqrt{\frac{3R^2 A_x (1 - \nu^2)}{D_{\theta}}}. \quad (7)$$

Подставляя полученное выражение в (6), и учитывая, что обычно $n^2 \gg 1$, находим минимальное значение $q_{\text{кр}}$:

$$\min q_{\text{кр}} = \frac{4\pi}{\sqrt[4]{27}} \left[\frac{\sqrt[4]{D_{\theta}^3 A_x (1 - \nu^2)}}{l \sqrt{R^3}} \right] . \quad (8)$$

Подставляя выражения n^2 и $\min q_{\text{кр}}$ в (5), получим выражение для частоты колебаний оболочки :

$$\omega = \frac{2\pi}{\sqrt[4]{3}} \left[\frac{\sqrt[4]{D_{\theta} A_x (1 - \nu^2)}}{l \cdot \sqrt{\rho_{\text{экв}} h R}} \right] . \quad (9)$$

При $\rho_{\text{экв}} \cdot h = \text{const}$ получим $\omega \approx 4 \sqrt{E_{\theta} E_x}$.

Окончательно, преобразовав (9), получим эквивалентный модуль нормальной упругости:

$$E_{\text{экв к}} = \sqrt{E_{\theta} \cdot E_x} . \quad (10)$$

Входящие в (10) величины:

$$E_{\theta} = E_{\text{М.О}} (\bar{h}_{\text{М.О}})^3 + E_{\text{П}} (\bar{h}_{\text{П}})^3 + \frac{12 \bar{h}_0^2 E_{\text{М.О}} E_{\text{П}} \bar{h}_{\text{М.О}} \bar{h}_{\text{П}}}{E_{\text{М.О}} \bar{h}_{\text{М.О}} + E_{\text{П}} \bar{h}_{\text{П}}} , \quad (11)$$

$$E_x = E_{\text{М.О}} (\bar{h}_{\text{М.О}}) + E_{\text{П}} (\bar{h}_{\text{П}}) . \quad (12)$$

Приведённые безразмерные толщины:

$$\bar{h}_{\text{М.О}} = \frac{h_{\text{М.О}}}{h} ; \quad \bar{h}_{\text{П}} = \frac{h_{\text{П}}}{h} ; \quad \bar{h}_0 = \frac{h_0}{h} ; \quad h = h_{\text{М.О}} + h_{\text{П}} ; \quad \bar{h} = \bar{h}_{\text{М.О}} + \bar{h}_{\text{П}} . \quad (13)$$

В формулах (10), (11), (12), (13)

- E_{θ} и E_x – модули упругости при изгибе и растяжении;
- $\bar{h}_{\text{М.О}}$, $\bar{h}_{\text{П}}$, \bar{h}_0 – приведённые толщины металлической обоймы, полимера и высота срединного слоя.

Данные зависимости выражения E_{θ} , E_x , $E_{\text{экв к}}$ позволяют при расчетах заменить классический корпус с полимером однослойной оболочкой с указанными параметрами.

Полимеры обладают рядом свойств, характерным как твердым, так и жидким телам. Поэтому обобщенный закон Гука, полагающий для упругого твердого тела линейную зависимость компонентов напряжения от компонентов деформаций, распространим и для полимерных материалов, используемых для ШО.

Работа изотропного идеально упругого тела характеризуется двумя константами: коэффициентом Пуассона ν и модулем Юнга E . Модуль упругости при сдвиге G определяется известным соотношением $G = \frac{E}{2(1 + \nu)}$.

Модуль сжимаемости K , зависит от констант ν и G и определяется выражением

$$K = \frac{E}{3(1 - 2\nu)}. \quad (14)$$

Определив значение приложенной нагрузки, главные радиусы кривизны поверхностей тел в точке касания и упругие характеристики материалов деталей можно установить:

- 1 – форму и размеры площадки контакта тел;
- 2 – величину деформации;
- 3 – величину и распределение давления по площадке контакта.

Палец (индентор) в расчётной схеме представлен как тело I (рис. 4).

Корпус ШО с эквивалентным модулем упругости, представляет собой сферическую оболочку, которая является контртелом II по отношению к индентору - телу I.

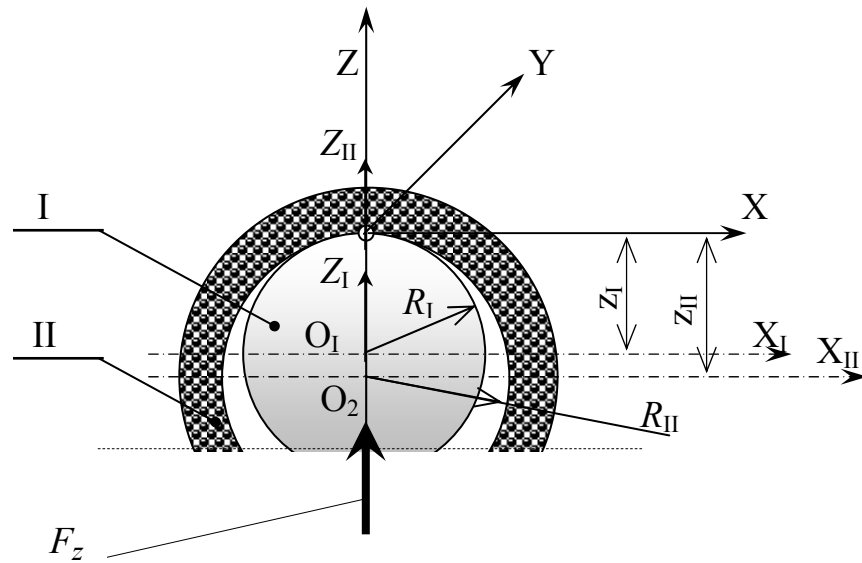


Рис. 4. - Расчётная схема по определению контактных напряжений и смещений.

При расчёте на контактное взаимодействие приводим модули упругости двух тел к единому значению:

$$E_{\text{пр}} = \frac{2(E_I \cdot E_{II})}{E_I + E_{II}}. \quad (15)$$

Упругие свойства взаимодействующих материалов обобщает коэффициент, который зависит от модулей упругости E_i (Н/м^2) [9] и определяется по формуле:

$$\eta = 2(1 - \nu^2) \frac{1}{E_{\text{пр}}}, \quad \frac{1}{\text{МПа}} \quad (16)$$

С помощью приведённого модуля упругости $E_{\text{пр}}$ можно решать практические контактные задачи при работе слоев из пластмассы.

В зоне взаимного контакта деталей I и II (рис. 4) возникает локальная круговая зона контакта радиусом $a = b$ [10,11].

При известных геометрических размерах и упругих постоянных соприкасающихся тел радиус круговой площадки ШО определяется по

формуле:

$$a = b = \sqrt[3]{\frac{3}{2} \eta \frac{1}{\sum k} F_z}, \quad (17)$$

где Σk – сумма кривизн индентора и контртела

$$\Sigma k = 2 \left(\frac{1}{R_{II}} - \frac{1}{R_I} \right) = 2 \frac{R_{II} - R_I}{R_I \cdot R_{II}}; \quad (18)$$

F_z - осевая сосредоточенная сила (Н).

Преобразуем формулу (17), используя формулу (18).

Окончательно для двух соприкасающихся сферических тел, одно из которых касается вогнутой поверхности другого, получим:

$$a = b = 0,9086 \sqrt[3]{\eta \frac{R_I \cdot R_{II}}{R_{II} - R_I} F_z} \quad (19)$$

где η – коэффициент, определяемый по формуле (16).

Взаимное перемещение пальца и корпуса характеризуется суммой перемещений точек первоначального касания и определяется по выражению

$$\delta = n_\delta \frac{1}{2} \cdot \sqrt[3]{\frac{9}{4} \eta^2 \Sigma k \cdot F^2} \quad (20)$$

Безразмерный коэффициент n_δ равен единице при круговой площадке контакта. Для пальца и корпуса ШО со сферическими поверхностями с известными n_δ , η , и Σk сближение:

$$\delta = 0,8255 \cdot \sqrt[3]{\eta^2 \frac{R_{II} - R_I}{R_I \cdot R_{II}} \cdot F_z^2}. \quad (21)$$

Наибольшая величина давления p_0 в общем виде определяется следующей зависимостью:

$$p_0 = n_p \frac{1}{\pi} \cdot \sqrt[3]{\frac{3}{2} \left(\frac{\Sigma k}{\eta} \right)^2 F_z}. \quad (22)$$

При касании сферических тел радиуса R_I и впадины радиуса R_{II} , при безразмерном коэффициенте $n_p = 1$, и сумме кривизн $\Sigma k = 2 \left(\frac{1}{R_{II}} - \frac{1}{R_I} \right)$ формула (22) упрощается и приобретает вид:

$$p_0 = 0,5784 \cdot \sqrt[3]{\frac{1}{\eta^2} \left(\frac{R_{II} - R_I}{R_{II} \cdot R_I} \right)^2} \cdot F_z. \quad (23)$$

$$p_0 = 0,5784 \cdot \sqrt[3]{\frac{1}{(1,43 \cdot 10^{-11})^2} \left(\frac{(16,35 - 16,30) \cdot 10^{-3}}{16,35 \cdot 10^{-3} \cdot 16,30 \cdot 10^{-3}} \right)^2} F_z,$$

$$p_0 = 3,48 \cdot 10^6 \cdot \sqrt[3]{F_z}.$$

При действии силы F_z наибольшее давление в центре площадки

$$p_0 = 3,48 \cdot 10^6 \cdot \sqrt[3]{3187} = 47,3 \cdot 10^6 \frac{\text{Н}}{\text{м}^2}.$$

Распределение давления p по круговой площадке контакта представляется ординатами ξ полусферы радиуса a , построенной на этой

площадке [12], т.е. $p = p_0 \cdot \frac{\xi}{a}$, $0 \leq \xi \leq a$.

Из этой зависимости следует, что максимальное давление испытывает точка в центре площадки при $\xi = a$, а по контуру площадки при $\xi = 0$ $p = 0$.

Далее, зная распределение давления, можно перейти к определению напряжённого состояния в следующих точках соприкасающихся деталей:

а) на оси симметрии Z , проходящей через центр площадки контакта нормально к её поверхности;

б) в контурных точках поверхности площадки взаимодействия.

Аксиальное напряжение, т.е. нормальное напряжение в площадках, перпендикулярных к оси Z от действия сосредоточенной силы F_z , приложенной к поверхности тела:

$$\sigma_z = - \int_0^a \int_0^{2\pi} \frac{p r d\varphi dr}{2\pi} \cdot \frac{3z^3}{\rho^5}; \quad (24)$$

где $p = \frac{p_0}{a} \cdot \sqrt{a^2 - r^2}$ и $\rho = \sqrt{z^2 + r^2}$.

$$\sigma_z = -\frac{3p_0}{a} \cdot z^3 \int_0^a \frac{\sqrt{a^2 - r^2}}{\sqrt{(z^2 + r^2)^5}} r dr \quad \text{или} \quad \sigma_z = -p_0 \frac{1}{1 + \left(\frac{z}{a}\right)^2}. \quad (25)$$

Знак минус в выражении (25) показывает, что напряжение σ_z является сжимающим. При $z = 0$ у центра площадки контакта $\sigma_z = -p_0$, а при неограниченном возрастании Z аксиальное напряжение σ_z стремится к нулю.

В центре площадки по оси Z будут наибольшие сжимающие напряжения:

$$\sigma_3 = \sigma_z = -p_0, \quad \sigma_3 = -47,3 \text{ МПа}; \quad (26)$$

два других главных напряжения

$$\sigma_1 = \sigma_2 = -\frac{2\nu + 1}{2} p_0 = -0,8 p_0, \quad \sigma_1 = \sigma_2 = -37,8 \text{ МПа}. \quad (27)$$

Следовательно, материал в центре площадки контакта испытывает трёхмерное, т.е. объёмное напряжённое состояние, близкое к всестороннему сжатию.

Максимальное касательное напряжение в этой точке

$$\tau_{max} = \frac{\sigma_1 - \sigma_3}{2} = \frac{-0,8p_0 - (-p_0)}{2} = 0,1 \cdot 47,3 = 4,7 \text{ МПа}. \quad (28)$$

Напряжения в направлении осей X и Y выражаются зависимостью:

$$\sigma_x = \sigma_y = -p_0 \left[(1 + \nu) - \frac{1}{2} \cdot \frac{1}{1 + \left(\frac{z}{a}\right)^2} - (1 + \nu) \frac{z}{a} \operatorname{arc} \operatorname{tg} \frac{a}{z} \right]. \quad (29)$$

Для точки у центра поверхности контакта, где $z = 0$

$$\sigma_x = \sigma_y = -p_0 \cdot \frac{(1+2\nu)}{2}. \quad (30)$$

Величина τ_{max} в функции расстояния z от центра площадки соприкасания выражается следующей зависимостью:

$$\tau_{max} = -\frac{1}{2} p_0 \left[(1+\nu) - \frac{3}{2} \cdot \frac{1}{1 + \left(\frac{z}{a}\right)^2} - (1+\nu) \frac{z}{a} \operatorname{arc} \operatorname{tg} \frac{a}{z} \right]. \quad (31)$$

Для точек, лежащих на пересечении контура круговой площадки соприкасания с осью X , имеет место следующая система главных напряжений

$$\sigma_1 = \sigma_x = \frac{1-2\nu}{3} p_0; \quad (32)$$

$$\sigma_2 = \sigma_z = 0; \quad (33)$$

$$\sigma_3 = \sigma_y = -\frac{1-2\nu}{3} p_0. \quad (34)$$

На контуре круговой площадки действует наибольшее растягивающее напряжение вдоль радиуса $\sigma_1 = \frac{1-2\nu}{3} p_0 = 0,133 p_0$ (35)

Напряжение, параллельное оси Z в точках контура $\sigma_2 = \sigma_z = 0$. (39)

Третье сжимающее напряжение действует по касательной к контуру площадки касания $\sigma_x = \sigma_3 = -\frac{1-2\nu}{3} p_0 = -0,133 p_0$; (36)

$$\sigma_1 = 6,5 \text{ МПа.} \quad \sigma_2 = 0. \quad \sigma_3 = -6,5 \text{ МПа.}$$

Максимальное касательное напряжение во всех точках контура

$$\tau_{max} = \frac{\sigma_1 - \sigma_3}{2} = \frac{0,133 p_0 - (-0,133 p_0)}{2} = 0,133 p_0$$

Вывод: во всех точках контура материал испытывает двухосное плоское двумерное напряжённое состояние, называемое чистым сдвигом с

наличием касательных напряжений. Наиболее напряжённой опасной точкой является точка, лежащая в центре площадки соприкосновения деталей.

Литература

1. Зайцева М.М., Мегера Г.И., Касьянов Д.Н. Проблема долговечности деталей грузовых автомобилей // Инженерный вестник Дона, 2017, №2. URL: ivdon.ru/ru/magazine/archive/N2y2017/4076

2. Косенко Е.Е., Черпаков А.В., Косенко В.В., Недолужко А.И. Методы оценки эксплуатационной надежности автомобилей // Инженерный вестник Дона, 2017, №3. URL: ivdon.ru/ru/magazine/archive/N3y2017/4303

3. Novikov A.N., Katunin A.A., Tebekin M.D., Novikov I.A. Vibration diagnostics as a way of defining car suspension bracket ball elements technical condition // International Journal of Applied Engineering Research. - 2015. Vol. 10. №24. pp. 44884-44888.

4. Радченко С.Ю., Новиков А.Н., Катунин А.А., Тебекин М.Д. Анализ видов повреждений шаровых шарниров // Мир транспорта и технологических машин. -2012.- № 1 (36). - С. 8-14.

5. Archard J.F. Interdisciplinary Approach to Friction and Wear. - NASA SP-181, Washington, 1968. 267 p.

6. Артёмов И.И., Войнов А.А. Повышение долговечности шаровых опор легковых автомобилей // Известия вузов. - М.: Машиностроение, 2007. - № 9. - С. 43-51.

7. Колесников В.И., Бардушкин В.В., Сычёв А.П., Яковлев В. Б. Влияние микроструктуры на локальные значения напряжений и деформаций в волокнистом композите //Вестник машиностроения. -2005. - № 8. – С. 35-38.

8. Банах Л.Я., Жеребчиков С.Н., Рудис М.А. Разработка математической модели и анализ собственных колебаний жидкостного



ракетного двигателя с учётом упругости составляющих подсистем / Проблемы машиностроения и надёжности машин. - Наука, 2004, № 6. С. 3-8.

9. Бидерман В.Л. Механика тонкостенных конструкций. Статика. М.: Машиностроение, 1977. 488 с.

10. Артёмов И.И., Савицкий В.Я., Сорокин С.А. Моделирование изнашивания и прогнозирование ресурса трибосистем. Пенза: Информационно-издательский центр Пензенского государственного университета, 2004. 374 с.

11. Когаев В.П., Махутов Н.А., Гусёнков А.П. Расчёты деталей машин и конструкций на прочность и долговечность: Справочник // М.: Машиностроение, 1985. 224 с.

12. Новиков А.Н. Математическое моделирование технического состояния шарового шарнира в условиях стендовых испытаний // Мир транспорта и технологических машин. 2014. № 4. С. 39-46.

References

1. Zajceva M.M., Megera G.I., Kas'janov D.N. Inzhenernyj vestnik Dona (Rus), 2017, №2. URL: ivdon.ru/ru/magazine/archive/N2y2017/4076

2. Kosenko E.E., Cherpakov A.V., Kosenko V.V., Nedoluzhko A.I. Inzhenernyj vestnik Dona (Rus), 2017, №3. URL: ivdon.ru/ru/magazine/archive/N3y2017/4303

3. Novikov A.N., Katunin A.A., Tebekin M.D., Novikov I.A. International Journal of Applied Engineering Research. 2015. Vol. 10. №24. pp. 44884-44888.

4. Radchenko S.Ju., Novikov A.N., Katunin A.A., Tebekin M.D. Mir transporta i tehnologicheskikh mashin. 2012. № 1 (36). pp. 8-14.

5. Archard J.F. Interdisciplinary Approach to Friction and Wear. NASA SP-181, Washington, 1968. P. 267.

6. Artjomov I.I., Vojnov A.A. Izvestija vuzov. M.: Mashinostroenie, 2007. № 9. pp. 43-51.



7. Kolesnikov V.I., Bardushkin V.V., Sychjov A.P., Jakovlev V. B. Vestnik mashinostroenija. 2005. № 8. pp. 35-38.
8. Banah L.Ja., Zherebchikov S.N., Rudis M.A. Problemy mashinostroenija i nadjozhnosti mashin. Nauka, 2004, № 6. pp. 3-8.
9. Biderman V.L. Mehanika tonkostennyh konstrukcij. Statika. [Mechanics of thin-walled structures. Statics]. M.: Mashinostroenie, 1977. 488 p.
10. Artjomov I.I., Savickij V.Ja., Sorokin S.A. Modelirovanie iznashivaniya i prognozirovanie resursa tribosistem [Modeling of wear and forecasting of tribosystems resource]. Penza: Informacionno-izdatel'skij centr Penzenskogo gosudarstvennogo universiteta, 2004. 374 p.
11. Kogaev V.P., Mahutov N.A., Gusjonkov A.P. Raschjoty detalej mashin i konstrukcij na prochnost' i dolgovechnost': Spravochnik [Calculations of machine parts and structures for strength and durability: Guide]. M.: Mashinostroenie, 1985. 224 p.
12. Novikov A.N. Mir transporta i tehnologicheskikh mashin. 2014. № 4. pp. 39-46.